

НАУЧНО-ИССЛЕДОВАТЕЛЬСКИЙ ИНСТИТУТ ГЕОЛОГИИ АРКТИКИ  
МИНИСТЕРСТВА ГЕОЛОГИИ СССР

---

ГЕОЛОГИЯ ОСАДОЧНОГО ЧЕХЛА  
АРХИПЛАГА СВАЛЬБАРД

СБОРНИК НАУЧНЫХ ТРУДОВ

Ленинград  
1980

М. В. КОРЧИНСКАЯ

## РАННЕНОРИЙСКАЯ ФАУНА АРХИПЕЛАГА СВАЛЬБАРД

В 1974 г. на о. Надежда были получены очень интересные и важные палеонтологические данные для подтверждения наличия нижненорийских отложений как на самом острове, так и на архипелаге Свальбард.

В северной части острова на г. Лянге Л. Г. Мурановым, А. П. Чапчаем и автором в свите Флатсален [16] были встречены аммониты *Argosirenites nelgeschensis* (Archipov), *A. cf. obruchevi* форма *nabeshi* (McLearn), двустворки *Nalobia aotii* Kob. et Ich., *N. fallax* Mojs., *N. cf. obruchevi* Kiran. *N. cf. maximiliani* Kittl., *N. sp.* и позвонки рептилий. Приведенные формы аммонитов вместе с теми же видами галобий широко распространены в нижненорийских отложениях Северо-Востока СССР. По устному сообщению Е. Т. Тозера, эти аммониты имеют близких двойников и среди сиренитид из нижней зоны норийского яруса Британской Колумбии. На о. Котельном (Новосибирские острова) эти же виды галобий также характерны для нижней зоны норийского яруса [3]. Все это позволяет нам совершенно определенно считать, что и возраст свиты Флатсален на о. Надежда ранненорийский. Это подтверждает правильность отнесения к нижненорийским отложениям аналогичных по вещественному составу пачек и из других районов архипелага.

Отложения аналогичные свите Флатсален с двустворками *Nalobia*, известны на мысе Фестинге (свита Твильингодден)<sup>1</sup>, на южном побережье Сассел-фьорда и в районе бухты Улче (свита Бьерибоген). На основании предварительных определений галобий В. М. Петренко еще в 1962 г. отнес эти отложения к норийскому ярусу верхнего триаса [5, 7].

В 1968 г. Т. М. Пчелиной и автором в долине Опп на северо-восточном склоне г. Слоттет в прослое конгломерата с фосфа-

<sup>1</sup>Подробнее о свитах см. статью Т. М. Пчелиной в этом же сборнике, с. 44-60.

товыми конкрециями, подстилающими пачку аргиллитов с конкрециями сидеритов с *Halobia* sp. (свита Бьеррибоген), были встречены единичные аммониты *Pterotoceras? svalbardense* sp. nov., *Argosirenites* sp. indet. и двустворки *Oxytoma szekanowski* Tell., *Oxytoma* aff. *mojsisovicsi* Tell. И хотя один из аммонитов новый вид, а два других небольшого размера и недостаточно хорошей сохранности, чтобы сделать точное определение, сходство первого с канадскими формами из нижненоррийских отложений и совместное нахождение с *Oxytoma szekanowski* Tell., известной из норрийских отложений Северо-Востока СССР, дало основание нам рассматривать комплекс фауны как норрийский [5].

Обработка коллекции галобий с о. Надежды позволила уточнить прежние предварительные определения. Наиболее распространенной формой во всех разрезах является *Halobia aotii* Kob. et Ich. — форма с широкими и плоскими пучковидными безнадомными ребрами, которая ранее сравнивалась с *H. plicosa* Mojs. и *H. cf. plicosa* Mojs. Это подтвердилось и оборам фауны на мысе Фестингс в 1979 г.

Аналоги свиты Флатсален присутствуют также на островах Вильгельма (свита Бьеррибоген — типовой разрез) и на Королевском на Земле Короля Карла (подсвита Кап Кобург), где в этих отложениях отмечается большое количество костей рептилий [19, 20]. На о. Королевском, по данным Д. Ворсли и Н. Хейнц, встречаются даже целые скелеты и много отдельных костей рептилий и рыб, а также неясные отпечатки двустворок. Только на мысе Мирн (г. Хейлвалд) в свите Бьеррибоген пока неизвестна макрофауна.

Имеющийся в нашем распоряжении в настоящее время палеонтологический материал позволяет нам выделять нижненоррийские отложения в объеме олов с *Argosirenites*, соответствующих зоне *Pinosoceras verchojanicum* Северо-Востока Азии, *Argosirenites kirgisovae* Приморья и *Mojsisovicsites kærri* Британской Колумбии. Никаких палеонтологических данных по фауне, свидетельствующих о наличии на Свальбарде более молодых триасовых отложений, у нас нет. Вывод о норрийском возрасте свиты Флатсален и ее аналогов не согласуется с данными зарубежных геологов. Исследование микрофитофоссилий из этой части разреза, по данным Д. Смит, Т. Бьерке, Н. Девина и С. Манума, показало наличие в ней спор, пыльцы, морских акритархов и динофлагеллат, свидетельствующих в пользу рэтского, рэт-лейасового возраста свиты Флатсален и ее аналогов [15-20]. Присутствие в свите Флатсален аммонитов "*Sirenites*", кончавших свое развитие в ранненоррийское время, Д. Смит, отдавая предпочтение в определении возраста спорово-пыльцевым данным, объясняет тем, что Свальбардское

море было тем убежищем, где сохранились реликты этих родов до ретского времени. Комплекс фауны из свиты Флатсален, хорошо коррелируемый с фауной нижненорийских отложений других районов Бо-реальной области, как это показано выше, делает неправомерным такое объяснение.

Ниже приводятся описания основных форм из слоев с *Argosirenites* с островов Надежды и Шницберген (бухты Уиче и долина Опп).

### О п и с а н и е ф а у н <sup>I</sup>

Семейство Trachyceratidae Haug, 1894

Род Argosirenites Popow, 1961

*Argosirenites nelgehensis* (Archipov)

Табл. I, фиг. I-5, табл. II, фиг. I

*Sirenites nelgehensis* Архипов, 1974, стр. 246, табл. XV, фиг. 6-7.

М а т е р и а л : 6 ядер различного размера и разной сохранности.

Размеры	Д	В	Т	У
Обр. I59-4; табл. I, фиг. 3	53	3I/58	II/20	5,5/10
" I46-6; табл. II, фиг. I	53	3I/58	II/20	-
" I59-5; табл. I, фиг. I	30	I5/50	-	5/16
" I46-8; табл. I, фиг. 4	54,5	32/58	9/16	-
" I46-I; табл. I, фиг. 2	36	2I/58	7,5/20	4,5/12
" I46-4; табл. I, фиг. 5	24	I2/50	5/20	5/20

О п и с а н и е . Раковины дисковидные, тонкие, с уплощенными боковыми сторонами с быстро возрастающими в высоту оборотами. Вентральная сторона узкая, с неглубоким срединным желобком посередине, ограниченная с каждой стороны рядом из мелких часто и косопоставленных бугорков. Умбо узкое. Умбиликальный край отчетливый, умбональная стенка отвесная. У самого маленького экземпляра (обр. I46-4, табл. I, фиг. 5) умбо наиболее широкое, до 20% диаметра раковины. Поверхность раковины на внутренних оборотах покрыта тонкими, серповидно изгибающимися дихотомирующими ребрышками, между которыми, ближе к вентраль-

<sup>I</sup> Коллекция хранится в ЦМ в г. Ленинграде, колл. № II887.

ному краю, появляются короткие, более тонкие вставные ребра (обр. I46-I, табл. I, фиг. I). С ростом раковины ребра становятся более низкими и широкими, иногда едва заметными. Концентрическая скульптура, состоящая из спиралей бугорков, проявляется очень слабо и неравномерно, а иногда и совсем отсутствует. Лопастная линия аммонитовая с рассеченными лопастями и седлами. Наружная часть ее состоит из вентральной лопасти широкой и довольно глубокой, подразделенной низким седлом на две неглубокие ветви, из глубокой первой боковой лопасти, значительно более мелкой второй боковой лопасти и вспомогательной части (табл. I, фиг.5).

**С р а в н е н и е .** Дискообразная инволютная форма раковины с характерной вентральной стороной, окаймленной с двух сторон многочисленными мелкими бугорками, не оставляет сомнения, что описываемые формы относятся к роду *Argosirenites*. Слабо выраженная радиальная и концентрическая скульптура (особенно на наружных оборотах более крупных экземпляров) позволяет отождествить описываемые формы с *o. Надежда* с *Argosirenites nishibetschensis* из Восточной Якутии. Отличие состоит в несколько большей уплощенности надеждинских форм, хотя нельзя исключить и некоторую деформированность раковины. От всех остальных видов этого рода отличается ослабленной скульптурой.

**Р а с п р о с т р а н е н и е .** Слои с *Argosirenites* норильского яруса *o. Надежды*, зона *Pinacoseras verchojanicum* Восточной Якутии и Северного Приохотья.

**Местонахождение:** Свальбард, *o. Надежды*, северная конечность, восточный склон г. Лянге, обр. I46-I, 3-6; I59-4,5.

*Argosirenites* cf. *obrucevi* forma *nabeshi* (McLearn)

Табл. I, фиг. 6; табл. II, фиг. 2-6

**М а т е р и а л :** один отпечаток, три обломка боковой поверхности и одно маленькое ядро.

**О п и с а н и е .** Раковина дисковидная, инволютная, с узким пупком и быстро растущими в высоту оборотами. Боковые стороны уплощенные, наружная сторона уплощенная с неглубокой средней бороздкой, ограниченной с обеих сторон боковыми киями, состоящими из густо расположенных и косо поставленных мелких бугорков. Боковая поверхность украшена невысокими ребрами с многочисленными бугорками, образующими спирали. Ребра, ближе к вентральному краю серповидно изгибаются назад. Дихотомирование ребер происходит, в основном, у пупкового края и в средней части боковой поверхности. Количество бугорков на вентральном ки-

ле по сравнению с последней боковой спиралью увеличивается иногда более чем в 2 раза (обр. I46-2, табл. I, фиг. 6). Иногда от бугорков на последней боковой спирали отходят еще дополнительные тонкие короткие ребрышки (обр. I59-8, табл. II, фиг. 8). Лопастная линия фрагментарно сохранилась только на одном образце (обр. I46-7, табл. II, фиг. 5), что позволяет сказать, что она аммонитовая. Несмотря на то, что в нашем распоряжении, в основном, только обломки ядер, но и на этом материале можно видеть некоторые различия между экземплярами. Различия выражаются в количестве спиралей (от 6 и до 9), в расстояниях между спиральями, в более или менее отчетливо выраженной ребристости.

**С р а в н е н и е .** По общим морфологическим признакам описываемые формы очень близки к *Argosirenites obrucevi* s.str., отличаясь от них менее отчетливо выраженными ребрами и иногда большим количеством спиралей. По этим же признакам надеждинские экземпляры ближе к описанным Маклером из Канады *Sirenites nabeshi* [14], а обр. I46-7, I59-2, (табл. II, фиг. 3, 6) по внешним морфологическим признакам имеют почти полное сходство с канадскими формами [14, табл. I, фиг. 4]. В.М.Бычков [2], по нашему мнению, совершенно правомерно считает, что канадский вид является формой азиатского *Argosirenites obrucevi*.

**Р а с п р о с т р а н е н и е .** Слои с *Argosirenites* норвежского яруса о. Надежды; зона *Mojsisovicsites kerri* Канады.

Местонахождение: о. Надежды, северная оконечность, г. Липге, обр. I59-1, 2, 3; I46-2, 7.

Семейство Tibetidae Hyatt, 1900

Род *Pterotoceras* Welter, 1915

*Pterotoceras* (?) svalbardense Korchinskaja sp. nov.

Табл. II, фиг. 7

**М а т е р и а л :** один образец из конгломерата. Жилая камера не сохранилась.

Размеры: 48,5; 29/59; I4/28; 4,5/9.

**О п и с а н и е .** Совершенно инволютная раковина с быстро растущими оборотами, с маленьким, но глубоким умбо. Стороны почти параллельны, слабо выпуклые. Умбональная стенка крутая, на умбональном крае мелкие бугорки, от которых отходят низкие грубые обычно одиночные ребра, иногда в средней части раздваивающиеся. Ребра пересекают боковую поверхность и резко обрываются перед неглубокой депрессией, расположенной перед вентральной стороной. Вентральная сторона ограничена двумя киями, между которыми проходит желобок. Вентральные кили украшены редки-

ми, не отчетливыми, вытянутыми в длину бугорками, расположенными несколько наискосок друг к другу. От лопастной линии сохранились лишь фрагменты, по которым можно судить только о том, что во внешней части было не менее 4 элементов.

**С р а в н е н и е .** По внешним морфологическим признакам описываемая форма несомненно относится к семейству *Tibetidae* и ближе всего к роду *Pterotoceras*, хотя и отличается от тиморских форм Динера и канадских: Маклера. Отличительные черты спицбергенской формы: 1) сильная инволютность — умбо составляет всего 9% диаметра, в то время как у наиболее инволютных канадских форм *Pterotoceras saurinum* 20% [I4, с.54, табл.IV, фиг. 3,4; табл. V, фиг. Ia,б, 2]; 2) отсутствие бугорков на боковой поверхности, кроме очень маленьких бугорков на умбо-нальном крае, что сближает ее с *Pterotoceras helminaе*, но последний имеет широкое умбо — (I2 табл.XV,фиг.2а,б); 3) наружные бугорки или уши, как их называли Динер и Маклер, на вентральных киях расположены значительно реже и не параллельно друг другу, а несколько наискосок (расположение бугорков наружное очень сходно с "*Tibetites*" из Британской Колумбии [I4, с.57, табл. V, фиг.9б]); 4) наличие перед вентральными киями на боковой поверхности отчетливой депрессии, что больше характерно для "*Tibetites*".

Отсутствие лопастной линии, которая очень своеобразна у *Tibetites* и *Pterotoceras*, заставляет основываться только на внешних морфологических признаках, что очень затрудняет сравнение и позволяет только условно отнести описываемую форму к роду *Pterotoceras*. Наличие же вышеописанных характерных черт дает основание для выделения нового вида — *Pterotoceras? svalbardense* sp.nov.

**Р а с п р о с т р а н е н и е .** Слои с *Argosirenites* норвежского яруса о. Шпицбергена.

Местонахождение: о. Шпицберген, дол. Опп, северо-восточный склон г. Слоттет, обр. 4I64-I, сборы 1968 г. Т.М. Пчелиной и автора.

Семейство *Halobiidae* Kittl, 1912

Род *Halobia* Bronn, 1830

*Halobia aotii* Kobayashi et Ichikawa

Табл.III, фиг.I-8

*Halobia aotii* Кипарисова и др., 1966; с.58, табл.Ш,фиг.7; здесь см. синонимизму. Бычков и др., 1976, с.59, табл.46,фиг.I-8.

**М а т е р и а л :** более 20 ядер правой и левой створок.

**О п и с а н и е .** Раковины небольшого размера ( $h = 8-18$  мм,  $l = 15-29$  мм), удлинённые, слабо выпуклые. Замочный край прямой, макушка сдвинута к переднему краю. Переднее ушко очень отчетливое, приподнятое над поверхностью раковины, разделяется на две части - нижнюю валикообразную с тонкой поперечной штриховкой и верхнюю уплощенную. Заднее треугольное поле довольно хорошо выделяется за счет ослабленной радиальной скульптуры и более отчетливой концентрической. Заднее ушко представлено очень узкой, уплощенной треугольной полоской вдоль замочного края. Ребра в центральной части раковины широкие, плоские, разделяющиеся между собой тонкими бороздками, которые по мере роста раковины становятся все более резкими и широкими. На некотором расстоянии от макушки ребра начинают делиться на 2, 3, 4 ребра, последние ниже также делятся и, в целом, ребра центральной части раковины имеют пучковатый характер. Ребра задней и передней частей раковины более узкие, одиночные или двойные, начинаются ниже макушки и не доходят до замочного края. Кроме радиальных ребер есть еще концентрические складочки, которые наиболее отчетливо выражены вокруг макушки и на заднем поле раковины. Несколько отличается от других экземпляров обр. I46-13 (табл. III, фиг. 4). Раковина более скошенная, с более широкой задней частью, макушка сильно смещена к переднему краю, замочный край более длинный и резко переходит в верхний задний край.

**С р а в н е н и е .** Рассматриваемые *Halobia* очень близки к *H. aotii* Kobayashi et Ichikawa. По форме раковины и скульптуры они наиболее близки к экземплярам, описанным с Северо-Востока СССР [2, табл. 46, фиг. I-2], но у шницбергенских форм более длинное и узкое переднее ушко.

**Р а с п р о с т р а н е н и е .** Норийский ярус, слои с *Argosirenites* Свальбарда, нижне- и средненорийские отложения Японии, Вьетнама, Малайзии, Северо-Востока СССР.

**Местонахождение:** о. Шницберген, восточное побережье бухты Уиче, сборы Б.П. Гаврилова 1962 г., обр. 9B-13, там же, сборы Т.М. Пчелиной и автора 1967 г., обр. 3112-1, 2, о. Надежда, сборы автора 1974 г., обр. 7/I46-8, 9, 10, 15, 16, мыс Фестингс и Сассенфьорд? на западном побережье Шницбергена.

*Halobia petrenkoi*<sup>1</sup> Korchinskaja sp. nov.

Табл. III, фиг. 9

**Г о л о т и п** - левая створка, табл. III, фиг. 9. Нижненорийские отложения, о. Надежда, обр. 9B-13-9. ЦМ, г. Ленинград.

<sup>1</sup> Вид назван в честь палеонтолога В.М. Петренко.



**М а т е р и а л :** одно ядро левой створки.

**О п и с а н и е .** Раковина удлинненно-овальных (длиной 27 мм, высотой 15 мм) очертаний, довольно выпуклая в срединной и примакушечной части. Макушка немного сдвинута вперед и чуть нависает над замочным краем. Поверхность раковины покрыта густо расположенными многочисленными ребрышками. Вблизи макушки ребра плоские, широкие, но уже на расстоянии 2-3 мм они начинают делиться тонкими бороздками на 2-3 ребра, последние ниже, в средней части раковины иногда снова делятся. У переднего и заднего краев ребра начинаются ниже макушки и делятся реже. Ребра задней половины створки слегка изгибаются назад и постепенно ослабевают по силе, а в верхней части совсем исчезают. От пересечения ребер с линиями нарастания на них нередко образуются узелки, особенно характерные для передней половины раковины. Переднее ушко широкое, выпуклое, имеет форму валика, ограниченного снизу бороздой, а сверху - очень узкой полоской, покрытой поперечной штриховкой. Заднее треугольное поле отделяется от остальной поверхности бороздкой, скульптура на нем ослаблена, тонкие ребрышки присутствуют только в нижней половине. Вдоль замочного края проходит бороздка, отделяющая узкое заднее ушко. Концентрические складки характерны для всего заднего поля.

**С р а в н е н и е .** По характеру ребристости, строению переднего ушка, состоящего почти целиком из валика, не очень отчетливому заднему ушку шпидбергенская форма имеет сходство с *Halobia virii Kittl*, но в качестве видового признака Китл [13, табл. VI, фиг. 17] указывает еще резко обрубленный задний край, в то время как у описываемой формы очень плавная линия перехода замкового края в задний и, кроме того, шпидбергенская форма имеет и более удлинненно-овальную форму, чем альпийская.

**Р а с п р о с т р а н е н и е .** Слон с *Argosirenites* Свальбарда.

**Местонахождение:** о. Шпидберген, восточное побережье, бухта Уиче, обр. 9Б-13-9, сборы Б.П. Гаврилова 1962 г.

*Halobia cf. maximiliani Kittl*

Табл. IV, фиг. 3-4

**М а т е р и а л :** внутреннее ядро раковины с раскрытыми створками и два ядра правых створок.

**О п и с а н и е .** Раковина средних размеров, с почти одинаковой длиной и высотой (длина 24 мм, высота - 20 мм), с макушкой, сдвинутой к переднему краю. Поверхность раковины покры-

та низкими, плоскими ребрами с довольно отчетливыми бороздками между ними. На расстоянии 5-7 мм от вершины ребра тонкими бороздками делятся один раз, а затем ниже более широкая часть ребра делится еще раз. В средней части раковины ребра собраны в пучки по 2-3 ребра. В задней части створки ребра более тонкие, изогнутые выпуклостями назад, постепенно затухающие к заднему полю. На расстоянии 20 мм от макушки проходит борозда надлома ребер, ниже которой ребра отклоняются вперед. На описываемом образце (табл. IУ, фиг. 3-4) этот надлом ребер хорошо виден в задне-средней части. Концентрические складочки очень отчетливые на макушке и задней половине раковины. Переднее ушко отделено бороздкой, слабо выпуклое, двураздельное, с поперечной штриховкой на нижней части ушка. Заднее поле уплощенное, отделено бороздкой, заднее ушко не обособлено.

**С р а в н е н и е .** По характеру ребристости и низкому надлому ребер описываемая форма имеет сходство с *Halobia maximiliani*, описанной Е. Киттлом [13, табл.УП, фиг.19]. У альпийской формы не сохранилось переднее ушко, так что полное сравнение произвести трудно. От северо-восточной формы, описанной как *H. aff. maximiliani* [2, с.55, табл.45, фиг.11], отличается более узким задним полем, строением переднего ушка, менее удлиненной формой раковины, менее резким отличием между ребрами передней и задней частью раковины.

**Р а с п р о с т р а н е н и е .** Слои с *Argosirenites* норвежского яруса о. Надежда.

Местонахождение: о. Надежды, северная оконечность, г.Длинге, обр. 7/146-19,20.

*Halobia cf. obruschevi* Kirpischeva.

Табл. IУ, фиг. 5-6

**М а т е р и а л :** два обломка внутренних ядер левых створок раковины.

**О п и с а н и е .** Раковины, судя по изображенным экземплярам, удлиненные, наиболее выпуклые в примакушечной части. Маленькая острая макушка чуть нависает над замочным краем. Поверхность раковины покрыта тонкими одиночными или двойными ребрышками, слабо изгибающимися назад. На расстоянии 10-12 мм от макушки они резко меняют свое направление и далее идут или прямо или чуть-чуть изгибаясь выпуклостями к переднему краю. Место перегиба ребер совпадает с резкой концентрической бороздой. У экз. 159-9 (табл. IУ, фиг. 5), вероятно, именно в месте перегиба раковина обломана. После перегиба ребра становятся слабо

волнистыми, особенно в задней части раковины. Переднее ушко не сохранилось, а заднее (табл. IУ, фиг. 5) представлено широким, почти гладким полем, верхняя часть которого вдоль замочной линии чуть приподнята над остальной поверхностью. На самом поле намечаются слабо заметные радиальные полоски и концентрические бороздки.

**С р а в н е н и е .** Очертание раковины, форма заднего поля, общий характер скульптуры до перегиба и ниже его свидетельствуют об очень близком сходстве описываемых экземпляров с *H. obguschevi*, описанной с Северо-Востока СССР [2].

**Р а с п р о с т р а н е н и е .** Слой с *Argosirenites* Свальбарда, нижненорийские отложения Северо-Востока СССР, Вьетнама.

**Местонахождение:** о. Надежда, г. Лянге, сборы автора 1974 г., обр. 7/146-12, 7/159-9.

*Meleagrinnella boehmi*<sup>1</sup> Korchinskaya sp.nov.

Табл. I, фиг. 7-9; табл. IУ, фиг. 7, 9, 10

**Г о л о т и п** - правая створка, табл. I, фиг. 7 норийские отложения, бухта Уиче - восточное побережье Шпицбергена, обр. 9В-13-13, ЦМ, г. Ленинград.

**М а т е р и а л :** 4 ядра правых створок хорошей сохранности.

**О п и с а н и е .** Раковины небольших размеров (от 7 до 12 мм в высоту) скошенные, сильно выпуклые, с высотой равной длине или несколько большей. Макушка несколько сдвинута вперед и нависает над замковым краем. Переднее ушко маленькое, заднее значительно больше, иногда с неглубокой выемкой на заднем крае. Вся поверхность раковины, включая и ушки, покрыта многочисленными тонкими ребрышками сглаженными в примакушечной части. На обр. 9В-13-11, 14 (табл. I, фиг. 8, 9, табл. IУ, фиг. 9, 10) в нижней половине раковины вставляются еще ребрышки второго порядка. Кроме радиальной скульптуры присутствует концентрические линии нарастания. Однако они отчетливо заметны только на голотипе, на других образцах они почти не заметны, но иногда, в месте пересечения линий нарастания и ребрышек, они как бы ломают их.

**С р а в н е н и е .** Некоторое сходство наблюдается с "*Pseudomonotis*" *sretsbergensis*, описанный Бэмом с г. Чермак (о. Шпицберген, Диксонфьорд). Но судя по изображению [II, табл. I, фиг. 10-13], на котором представлена только правая створка,

<sup>1</sup>Название вида дано в честь палеонтолога Дж. Бэма.

оба ушка и переднее и заднее одинаковых размеров, да и ребристость более редкая, что отличает ее от описываемых форм.

**З а м е ч а н и е .** В отношении родовой принадлежности описанная Бэмом "Ps. spitsbergensis" скорее всего относится к *Meleagrinnella*, что справедливо отмечалось (ранее) Э.Т.Тозером [21, с.105].

От канадских *Meleagrinnella antiqua* [21, с.104, табл.ХХIХ, фиг.7-9] *M. bochni* отличается более выпуклыми створками и значительно более густой ребристостью (на шпицбергских образцах на 5 мм приходится 15-18 ребер, а на канадских - 7-8 ребер).

**Р а с п р о с т р а н е н и е .** Норийский ярус о.Шпицбергена.

Местонахождение: восточное побережье Шпицбергена, бухта Уиче, Сборы 1962 г. Б.А.Гаврилова, обр. 9В-13 (II-14).

#### Список литературы

1. Архипов Ю.В. Стратиграфия триасовых отложений Восточной Якутии. Якутск, Якутское книжное изд-во, 1974, 269 с.
2. Атлас триасовой фауны и флоры Северо-Востока СССР. М., "Недра", 1976, 266 с. Авт.: Ю.М.Бычков, А.С.Дагис, А.Ф.Ефимова, И.В.Полуботко.
3. Дагис А.М., Архипов Ю.А., Бычков Ю.М. Стратиграфия триасовой системы Северо-Востока Азии. М., "Недра", 1979, 240 с.
4. Кипарисова Л.Д., Бычков Ю.М., Полуботко И.В. Поздне-триасовые двустворчатые моллюски Северо-Востока СССР. Магадан, Магаданское книжное изд-во, 1966, 312 с.
5. Корчинская М.В. Биостратиграфия и фауна триасовых отложений Свальбарда. Автореферат. Л., 1975, 25 с.
6. Пчелина Т.М. Стратиграфия и особенности вещественного состава мезозойских отложений центральной части Западного Шпицбергена. - В кн.: Материалы по геологии Шпицбергена. Л., изд. НИИГА, 1965, с. 127-148.
7. Пчелина Т.М. Стратиграфия и особенности вещественного состава мезозойских отложений южных и восточных районов Западного Шпицбергена. - В кн.: Материалы по стратиграфии Шпицбергена. Л., изд. НИИГА, 1967, с. 121-158.
8. Bjerke T., Manum S. Mesozoic palynology of Svalbard. 1. Rhatian of Hopen with a preliminary report of the Rhatian and Jurassic Kong Karls Land. Skr. 165, Norsk Polarinst., Oslo, 1977, p. 1-49.
9. Bjerke T. Mesozoic palynology of Svalbard. II. Palyno-

morphs from the Mesozoic sequence of Kong Karls Land. Arbök, 1976, Norsk Polarinst., Oslo, 1977, p. 83-120.

10. Bjerke T., Henning D. Sedimentological and palynological studies of Upper Triassic - Lower Jurassic sediments in Sassenfjorden, Spitsbergen. "Arbök", Norsk Polarinst., Oslo, 1977, p. 131-150.

11. Böhm J. Über die obertriassische Fauna der Bareninsel, Kungl. Svenska Vetenskaps Akad. Handl., Bd. 37, N 3, 1903, 768.

12. Diener C. Ammonoidea Trachyostraca aus der mittleren und oberen Trias von Timor. Jb., Mjn., Ned-Oost.-Ind., 1920, 1923, p. 75-276, Atlas, Pls. I-XXXII.

13. Kittl E. Materialien zur einer Monographie der Halobitidae und Monotidae der Trias. Result d. Wiss., Erforschung d. Bakatonsees. Bd. 1, Pal. Bd. 11, 1912, 211 S.

14. McLearn F.H. Ammonoid faunas of the Upper Triassic Pardonet Formation, Peace River Foothills, British Columbia, Geol. Surv. Can., Mem. 311, 1960, 118 p.

15. Smith D. Late Triassic pollen and spores from the Kapp Toscana Formation, Hopen, Svalbard: A preliminary account. Rev. Palaeob. and Palynol., 1974, v. 17, N 1/2, p. 1-23.

16. Smith D. e.a. Geology of Hopen, Svalbard Geol. Mag., 1975, v. 112, N 1, p. 1-112.

17. Smith D. e.a. The geology of Kong Karls Land. Svalbard, Geol. Mag., 1976, v. 113, N 3, p. 193-232.

18. Smith D. The stratigraphy of Wilhelmsøya and Hellwald fjellet, Svalbard, Geol. Mag., 1977, v. 112, N 5, p. 481-491.

19. Worsley D. The Wilhelmsøya Formation - a new lithostratigraphical unit from the Mesozoic of eastern Svalbard. Arb. Norsk Polarinst., 1971, Oslo, 1973, p. 7-15.

20. Worsley D., Heintz N. The stratigraphical significance of a marine vertebrate fauna of Rhaetian age, Kong Karls Land. Arb. Norsk Polarinst., Oslo, 1977(1976), p. 69-82.

21. Tozer E.T. Triassic stratigraphy and faunas, Queen Elizabeth Islands, Arctic Archipelago. Geol. Surv. Canada, Mem., 316, 1961, p. 116, 30 pls.

ОБЪЯСНЕНИЯ К ТАБЛИЦАМ

Таблица I

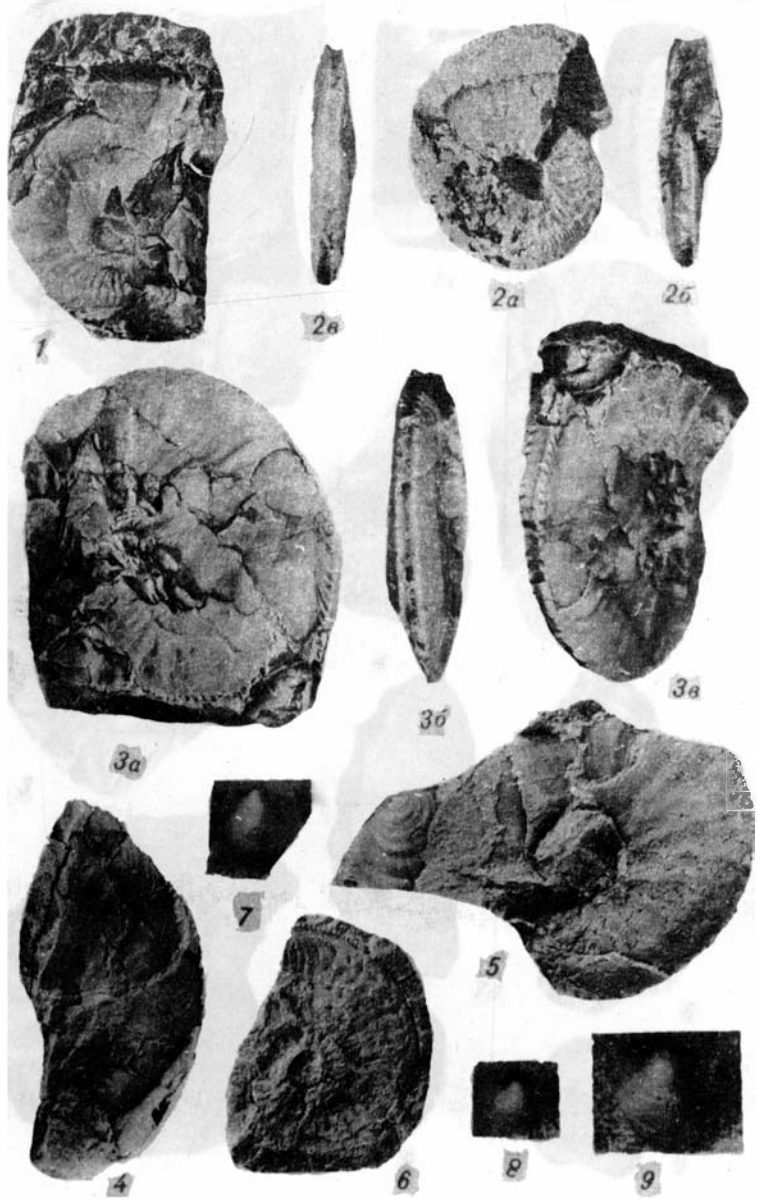
- Фиг. 1-5. *Argosirenites nelgechensis* (Archipov)  
Фиг.1. Вид сбоку. о. Надежды, г. Лянге, обр. 159-5.  
Фиг.2. а - вид сбоку; б - вид с устья; в - вид с  
вентральной стороны; там же, обр. 146-1. Фиг.3. а -  
вид сбоку; б, в - вид с вентральной стороны; там же,  
обр. 159-4. Фиг. 4-5 - вид сбоку, там же, обр. 146-  
3, 146-4 (x 2).
- Фиг. 6. *Argosirenites* cf. *obruševi* f. *nabeshi* (McLearn)  
Вид сбоку, там же, обр. 146-2.
- Фиг. 7-9. *Meleagrinnella boehmi* sp. nov.  
7 - голотип. Левая створка, Восточное побережье  
Шпицбергена, бухта Уиче, обр. 9В-13-13. 8 - левая  
створка, там же, обр. 9В-13-14. 9 - то же, x 2.

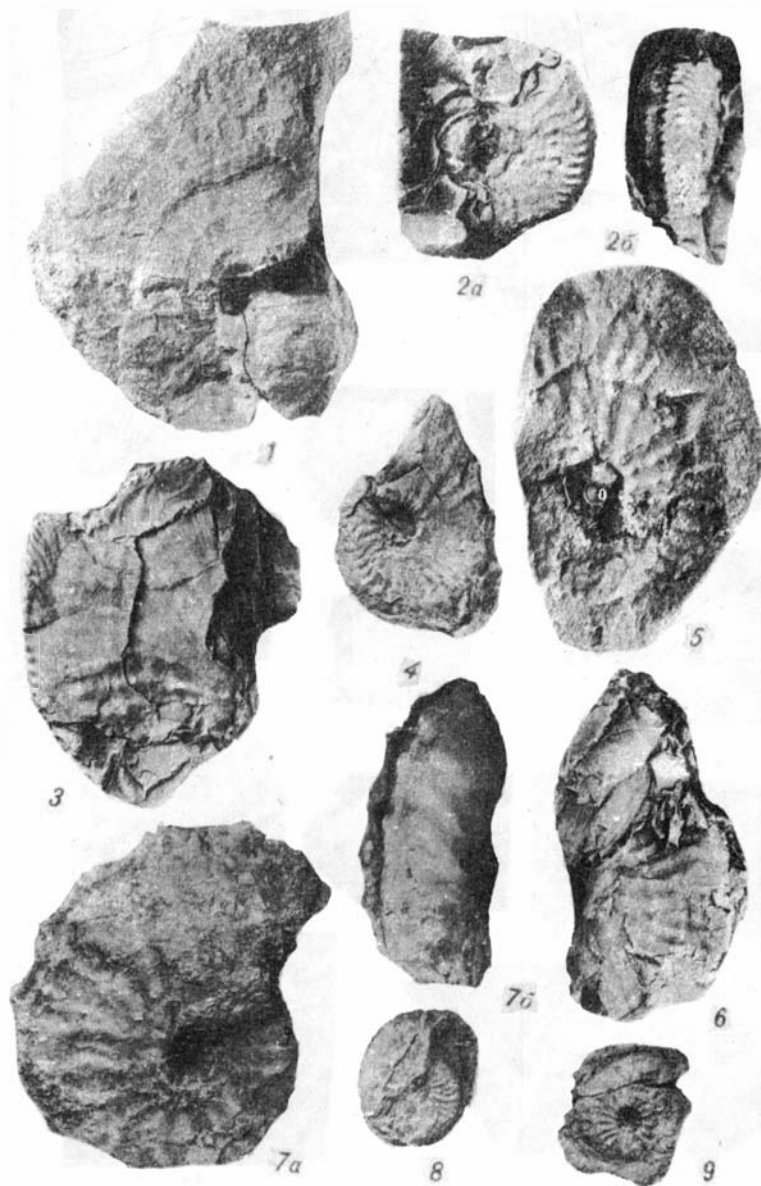
Таблица II

- Фиг. 1. *Argosirenites nelgechensis* (Archipov)  
Вид на боковую поверхность. О.Надежды, г. Лянге, обр.  
146-6.
- Фиг. 2-6. *Argosirenites obruševi* forma *nabeshi* McLearn  
2а - вид сбоку; 2б - вид на вентральную сторону;  
о.Надежды, г. Лянге, обр. 159-1; Фиг. 3-6 - вид на  
боковую поверхность, там же, обр. 159-3, 146-5, 146-  
7, 159-2.
- Фиг. 7. *Pterotoceras? svalbardense* sp. nov.  
а - вид сбоку; б - вид на вентральную сторону;  
о. Шпицберген, долина Опп, г. Слоттет, обр. 4164-1.
- Фиг. 8-9. *Argosirenites* sp. indet.  
Вид сбоку, там же, обр. 4164-2,3.

Таблица III

- Фиг. 1-8 *Nalobia aotii* Kobayashi et Ichikawa  
1 - ракушняк, о. Надежды, г. Лянге, обр. 146-16  
(x 2); 2-4 - правые створки, там же, обр. 146-9 (x 2),  
146-8 (x 2), 146-13 (x 2); 5-6 - левые створки, там  
же, обр. 146-10, 146-15 (x 2); 7 - а - левая створ-  
ка, восточное побережье Шпицбергена, бухта Уиче, обр.









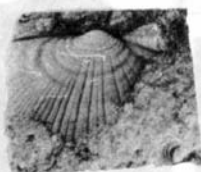
7



7a



7b



2



3



8a



4



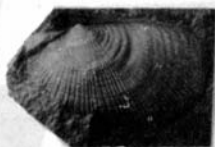
5



8b



6



9



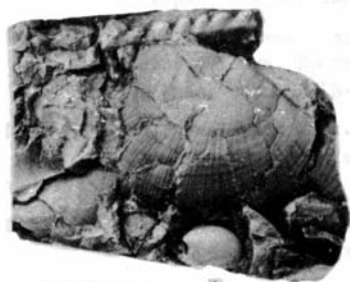
10



11



12



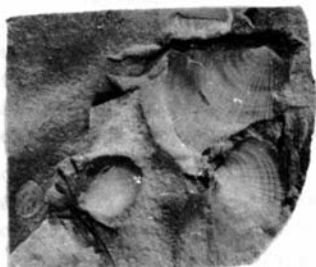
1



2



3



4



9



10



5



7



6



8



11



12

9B-13-4, б - то же, х 2; 8а - левая и правые створки, там же, обр. 9B-13-7; б - то же, х 2.

- Фиг. 9. *Nalobia retrenkoi* sp.nov.  
Левая створка. Восточное побережье Шпицбергена, бухта Уиче, обр. 9B-13-9.
- Фиг.10,12. *Nalobia fallax* Mojs.  
Левые створки, о. Надежды, г. Линге, обр. I46-I4 (х 2), I46-II.
- Фиг. II. *Nalobia* cf. *fallax* Mojs.  
Левая створка, там же, обр. I46-I7.

Таблица IV

- Фиг. I-2,8. *Nalobia* sp.  
Правые створки. О. Надежды, г. Линге, обр. I59-8, I59-7 (х2), I46-I8. На фиг. I вместе с *Nalobia* sp. обломок сифональной стороны *Argosirenites* sp.indet.
- Фиг. 3-4. *Nalobia* cf. *maximiliani* Kittl.  
3 - правые и левые створки. О. Надежды, северная оконечность, г. Линге, обр. I46-I9. 4 - правые створки, там же, обр. I46-20. Здесь же *Meleagrinnella* cf. *boehmi* sp. nov.
- Фиг. 5-6. *Nalobia* cf. *obruchevi* Kipar.  
Левые створки. Там же, обр. I59-9 (х 2), I46-I2.
- Фиг. 7,9,10. *Meleagrinnella boehmi* Korchinskaya sp. nov.  
7 - левая створка. Восточное побережье Шпицбергена, бухта Уиче, обр. 9B-13-I2. 9 - там же, обр. 9B-13-II; 10 - то же х 2.
- Фиг. II. *Oxytoma* aff. *mojsisovicsi* Teller  
Шпицберген, долина Опп, г. Слоттет, вместе с *Pterotoceras?* *svalbardi*, обр. 4I30.
- Фиг. I2. *Oxytoma szekanowskii* Teller  
Шпицберген, долина Опп, г. Слоттет, обр. 4I64-2.
-